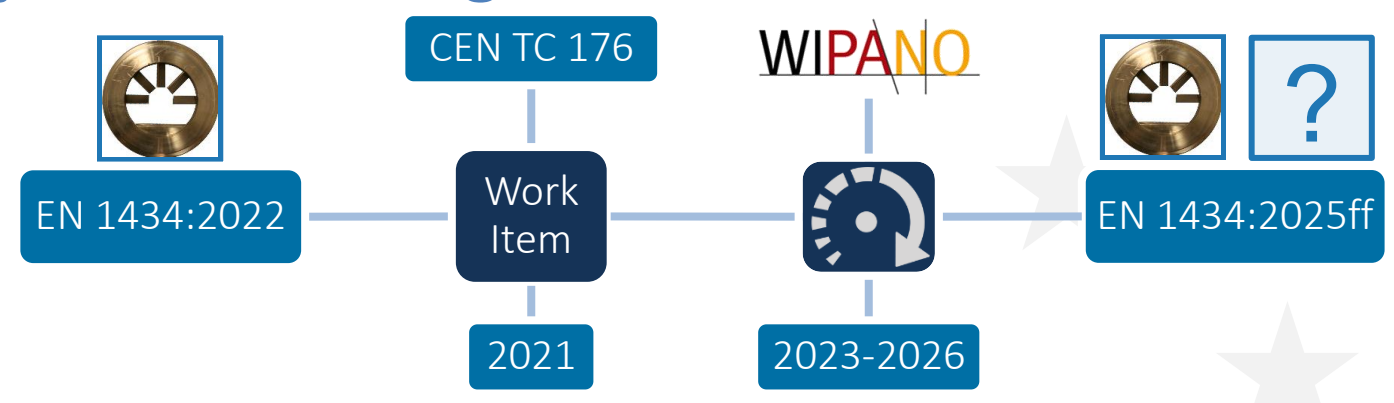


for Thermal Energy Measurement

Entwicklung eines Störkörpers für die EN 1434



Projektvorstellung

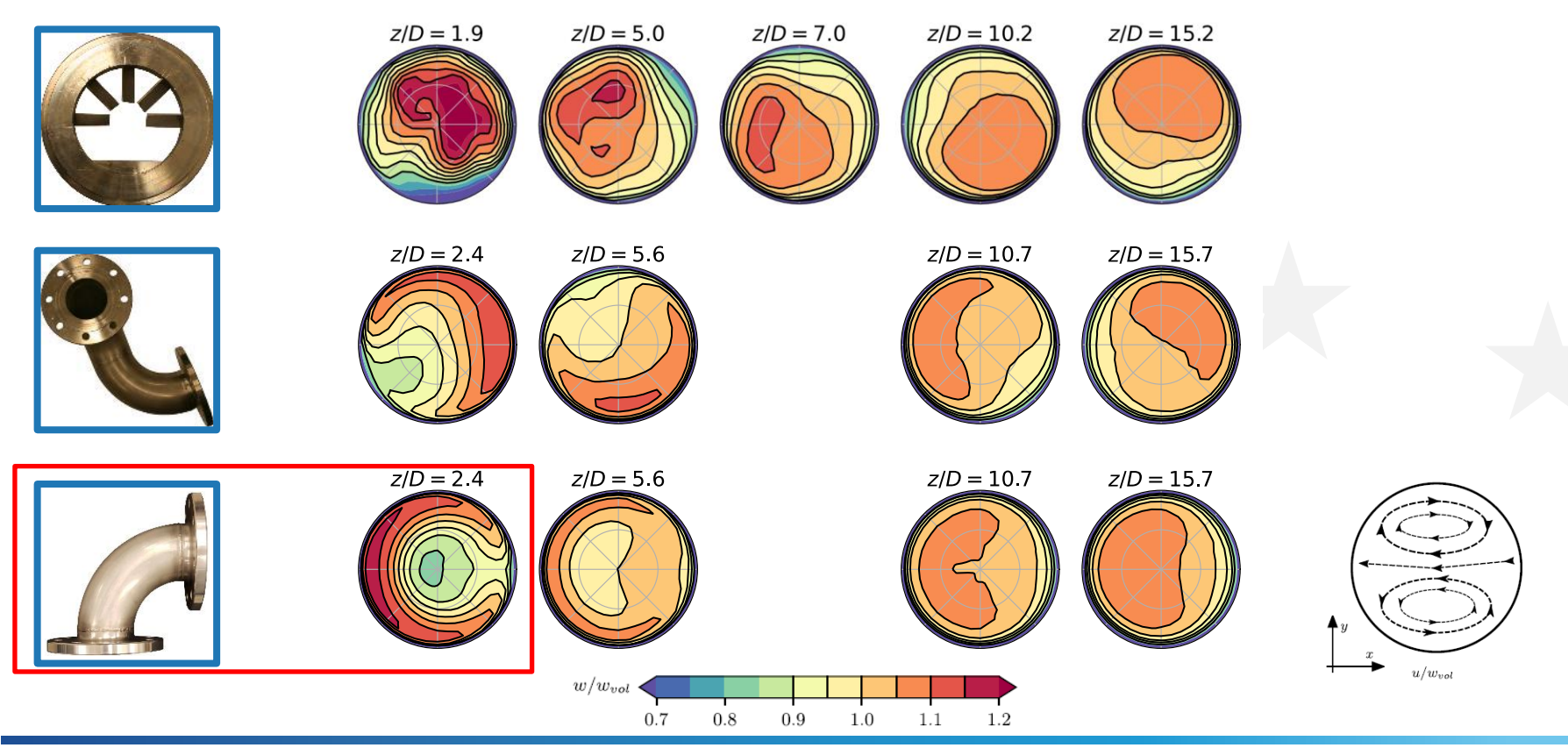


- WIPANO (BMWE) Wissens- und Technologietransfer durch Patente und Normen
- Work item: Flow profiles in water and water glycol solution networks, e.g. 90° bend and double bend out of plane
- Laufzeit: September 2023 April 2026
- Projektpartner: Physikalisch-Technische Bundesanstalt (PTB), Wärmezähler-Service-GmbH (WSG)
- Zielstellung
 - Messtechnische Validierung der Zulassung ohne Einlaufstrecke ("OD-Zulassung") im Durchflusstest der EN 1434
 - Entwicklung eines Störkörpers zur Darstellung des Nahfeldbereichs hinter Krümmer-Konfigurationen
 - Ggf. Erweiterung des Durchflusstests um neuen Störkörper

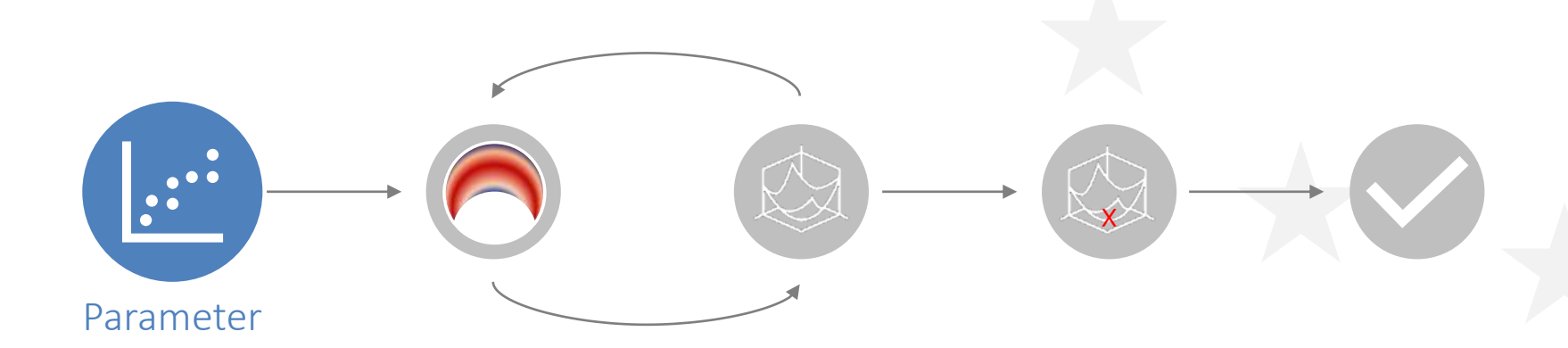


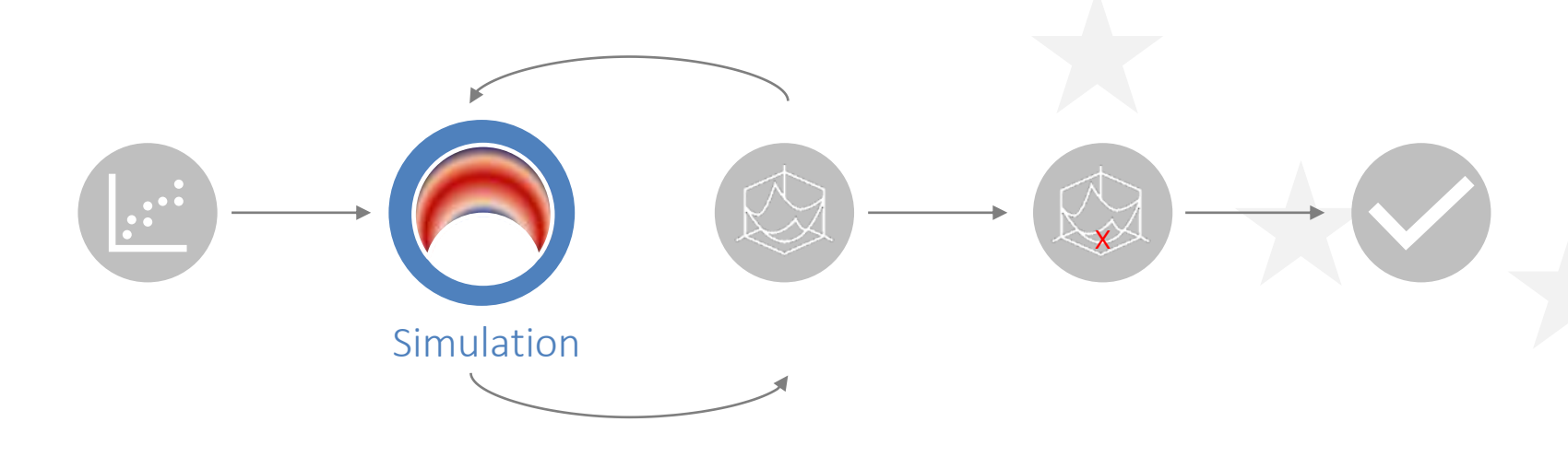


Vergleich der Strömungsprofile

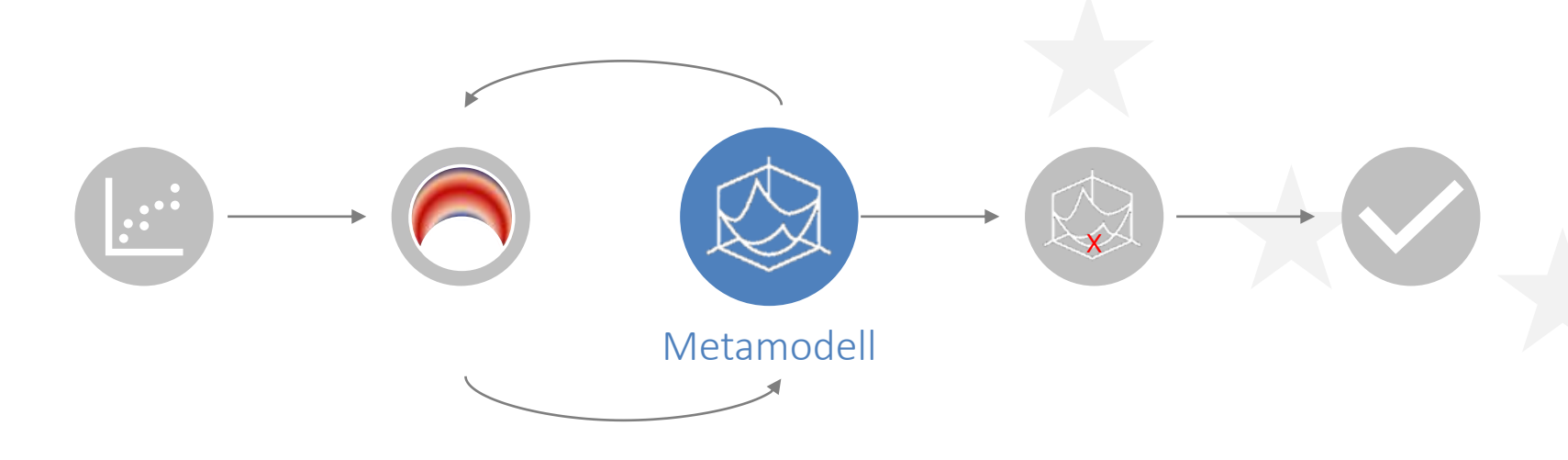


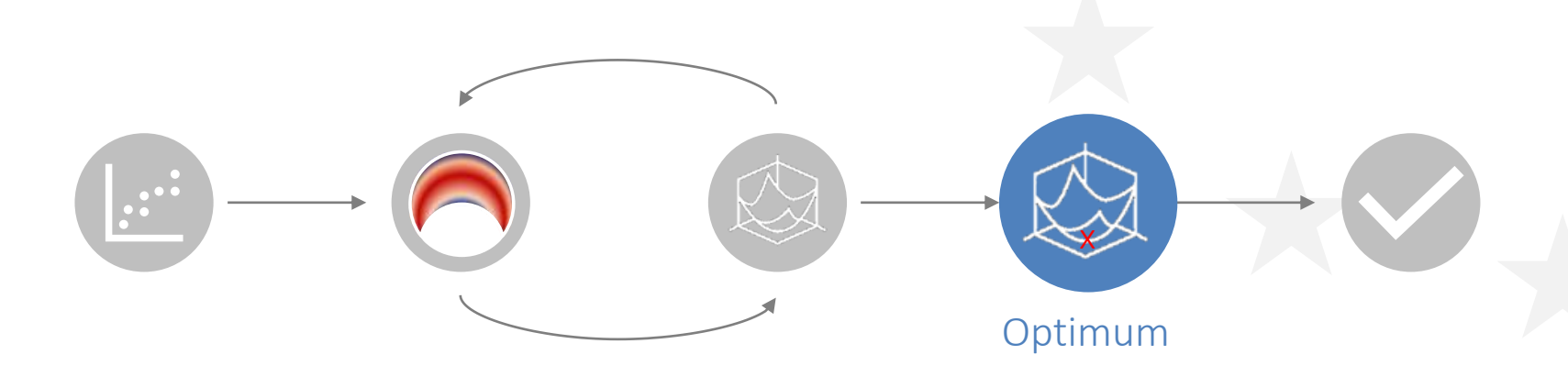




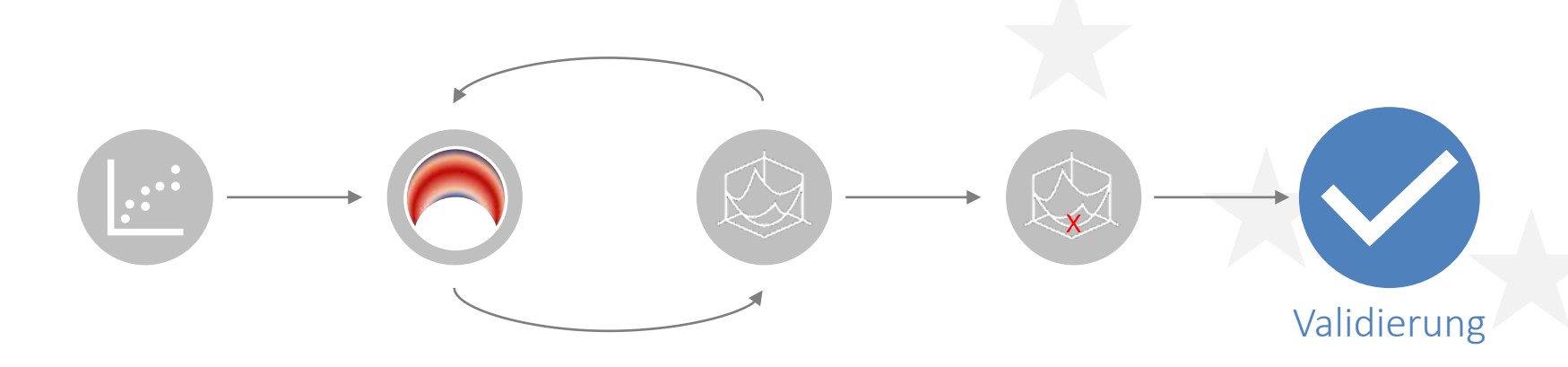
















Katja Hertha-Dunkel (PTB)





Eingangsgrößen

- Geometrieparameter (Dicke, Durchmesser, ...)
- Randbedingungen (Durchflussgeschwindigkeit)

Nebenbedingung

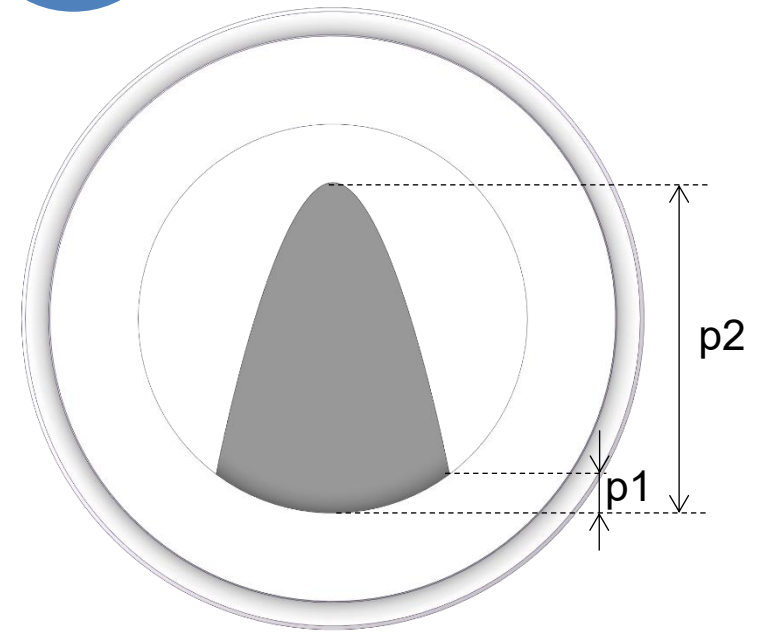
- Einbauplatz
- Fertigungsmöglichkeiten

Zielgröße

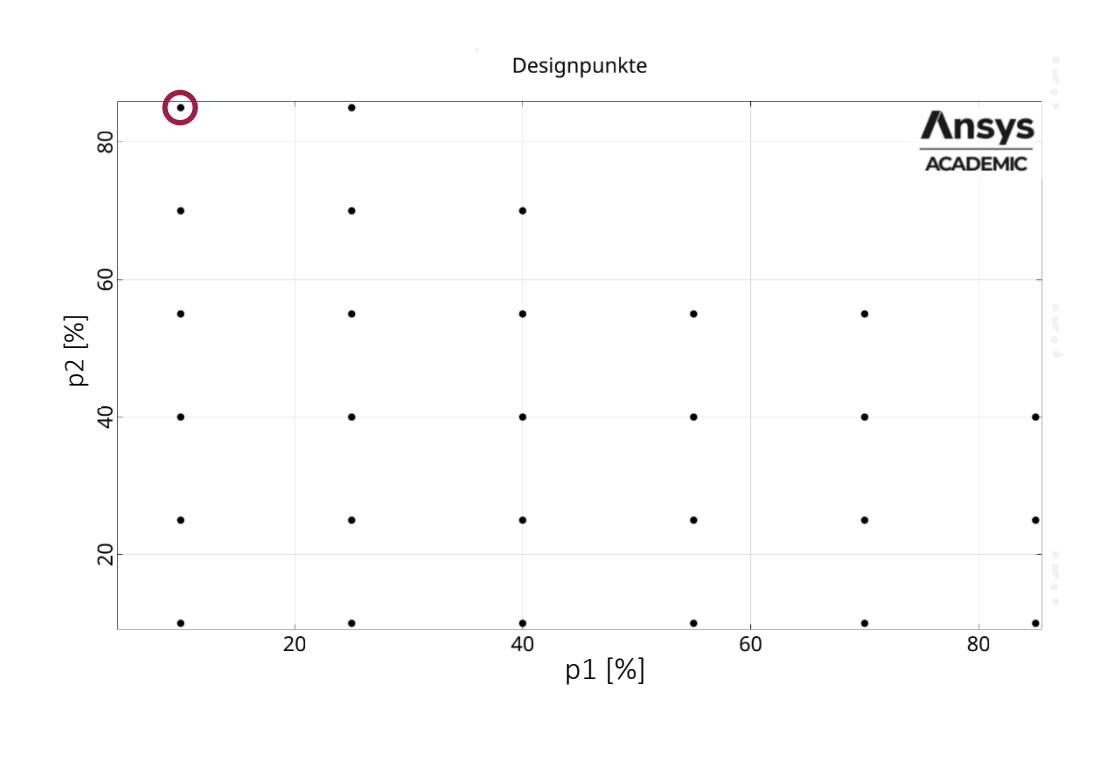
- Unterschied zweier Strömungsprofile
- Temperaturverteilung
- Kombination verschiedener Größen



Parameter



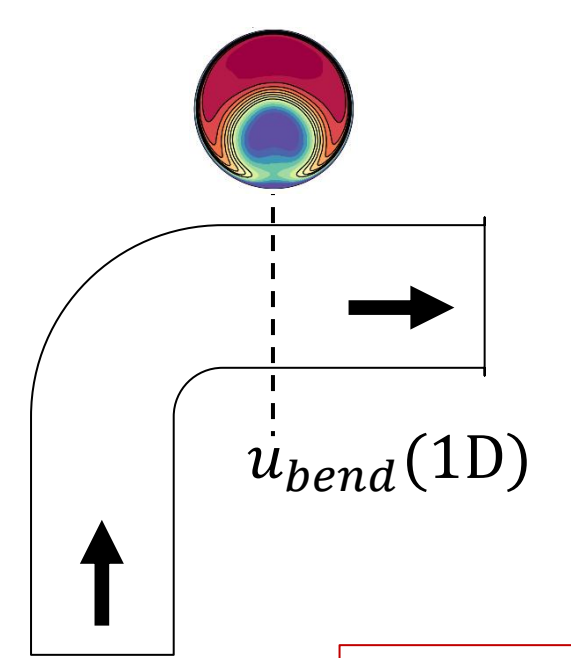
$$A_{OP} \leq \frac{2}{3} A_{Pipe}$$

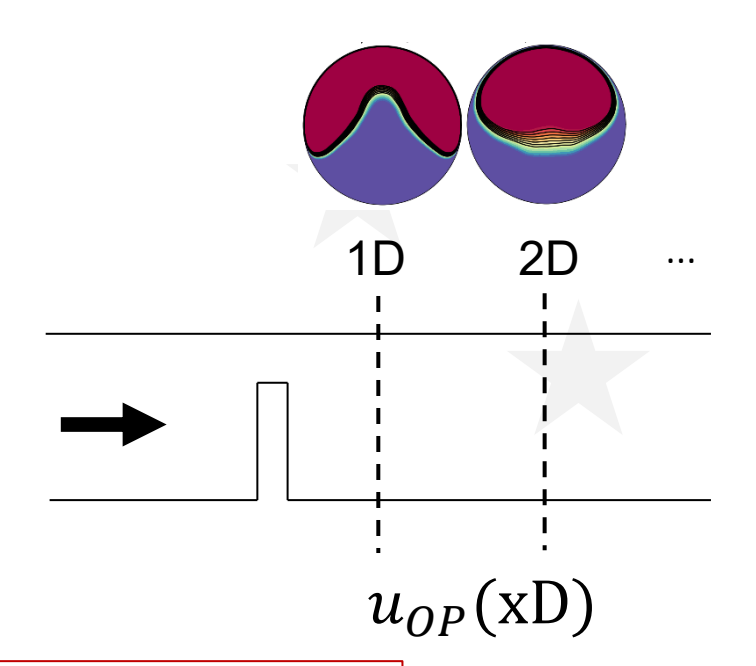




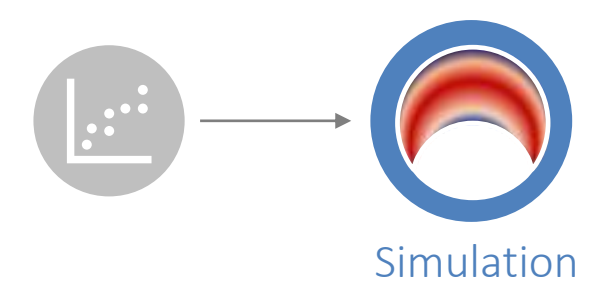


Parameter





$$L^{1} = \frac{4}{\pi D^{2}} \int_{0}^{2\pi} \int_{0}^{D} |u_{bend} - u_{OP}| r \, dr d\phi$$

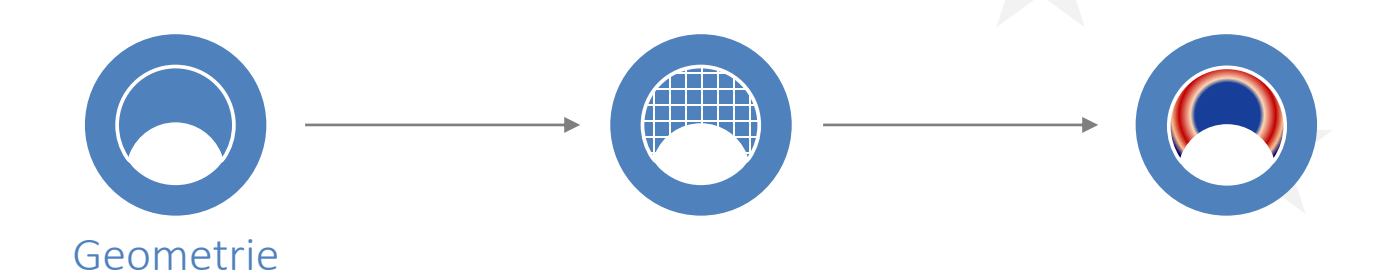












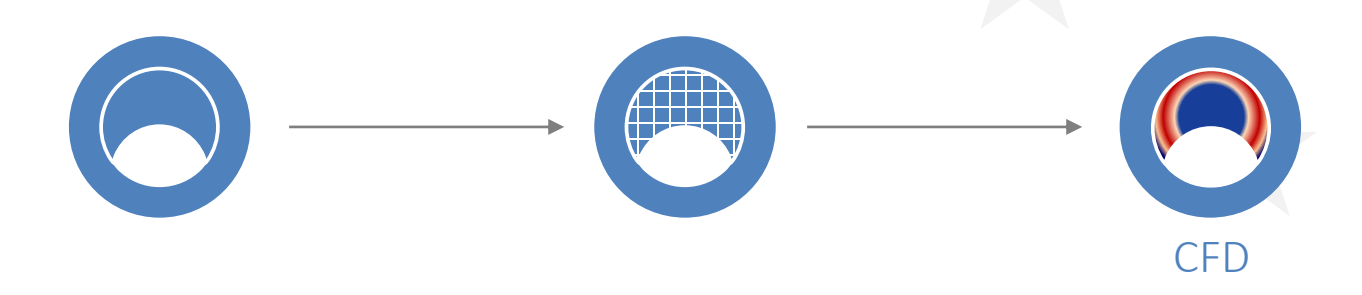














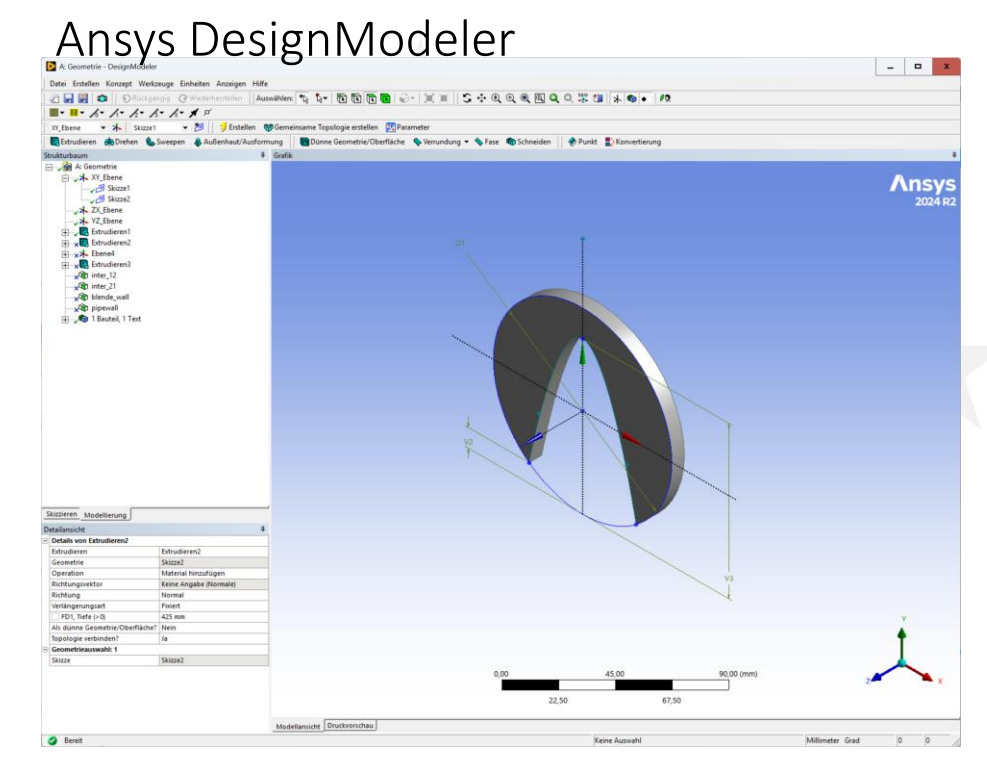




Ansys Workbench

	Α	В	С	D	E
1	Name 💌	P1-p11 💌	P2 - p13 💌	Beibehalten	Beibehaltene Daten
2	Maßeinheiten	mm 💌	mm 💌		
3	DP 0	10	10		
4	DP 1	10	25		
5	DP 2	10	40		
6	DP 3	10	55		
7	DP 4	10	70		
8	DP 5	10	85		
9	DP 6	25	10		
10	DP 7	25	25		
11	DP 8	25	40		
12	DP 9	25	55		
13	DP 10	25	70		
14	DP 11	25	85		
15	DP 12	40	10		
16	DP 13	40	25		
17	DP 14	40	40		
18	DP 15	40	55		
19	DP 16	40	70		
20	DP 17	40	85		
21	DP 18	55	10		
22	DP 19	55	25		
23	DP 20	55	40		
24	DP 21	55	55		
25	DP 22	55	70		
26	DP 23	55	85		
27	DP 24	70	10		
28	DP 25	70	25		
29	DP 26	70	40		
30	DP 27	70	55		
31	DP 28	70	70		
32	DP 29	70	85		
33	DP 30	85	10		
34	DP 31	85	25		
35	DP 32	85	40		
36	DP 33	85	55		
37	DP 34	85	70		
38	DP 35	85	85		



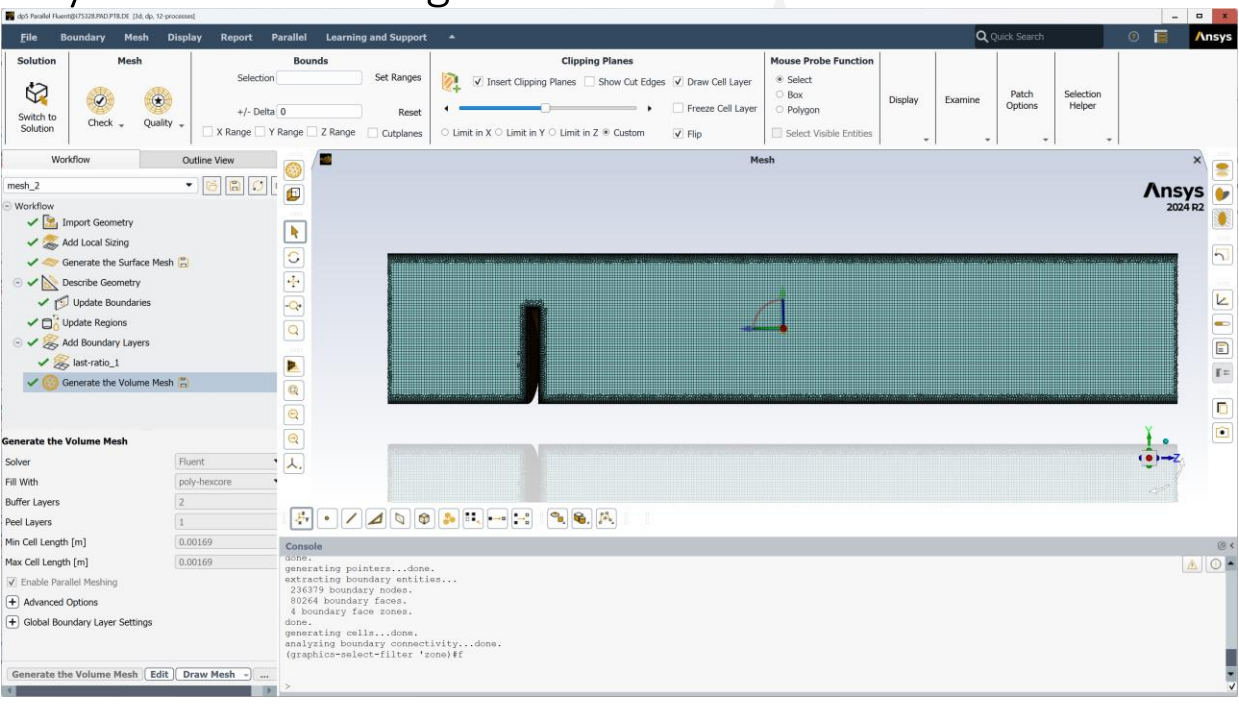






Ansys Fluent Meshing



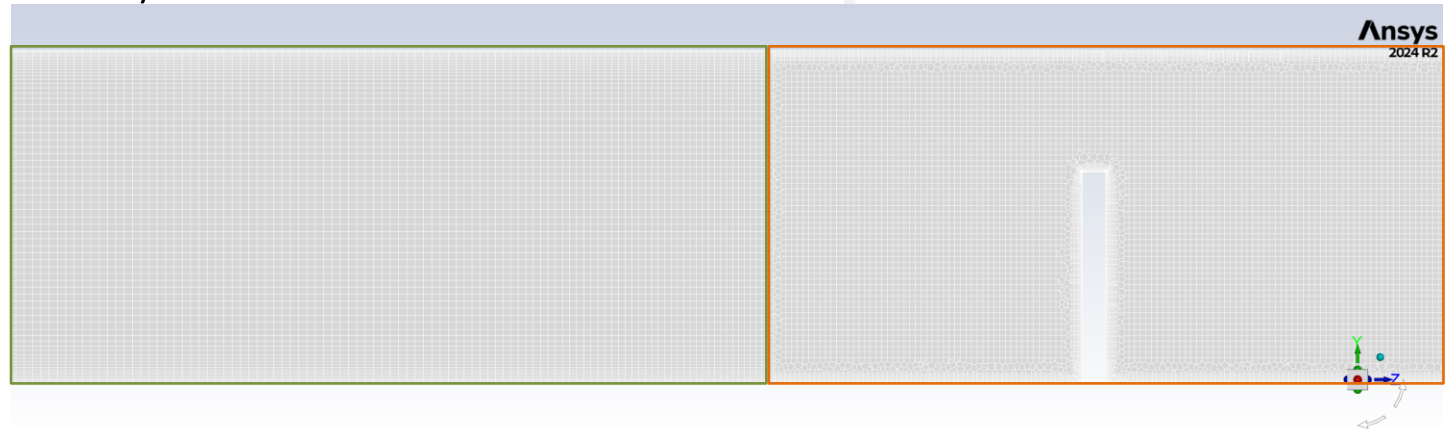






Ansys Fluent



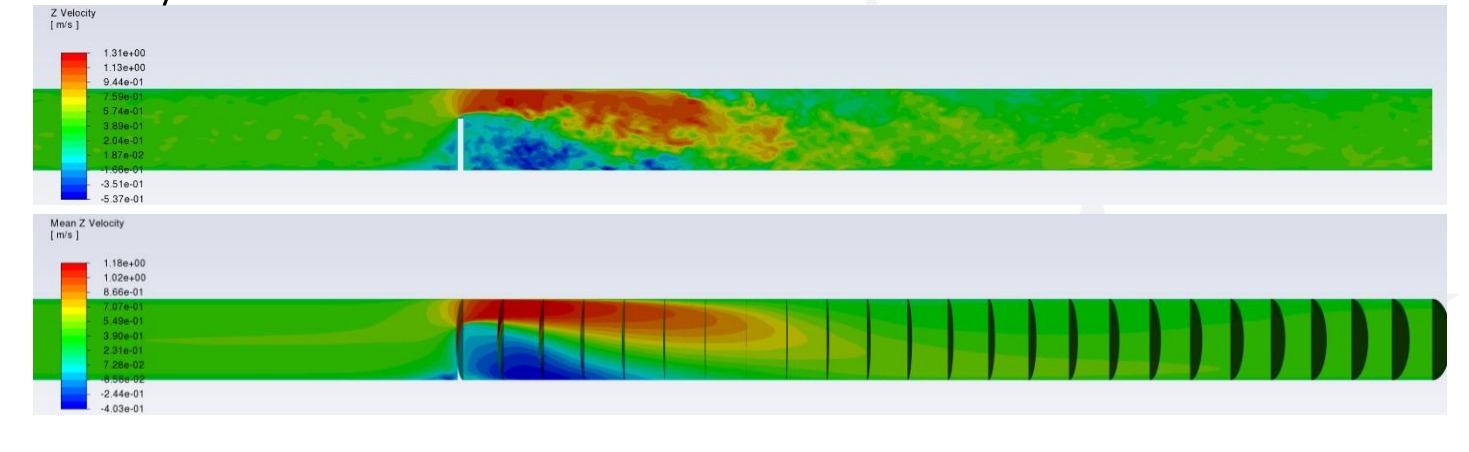


- Kombination von strukturiertem und unstrukturiertem Gitter
- Gittergröße ca. 5,5 Mio Punkte



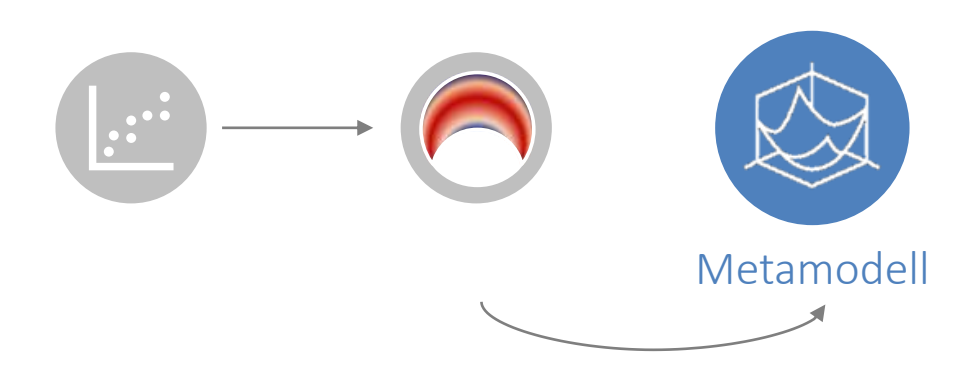






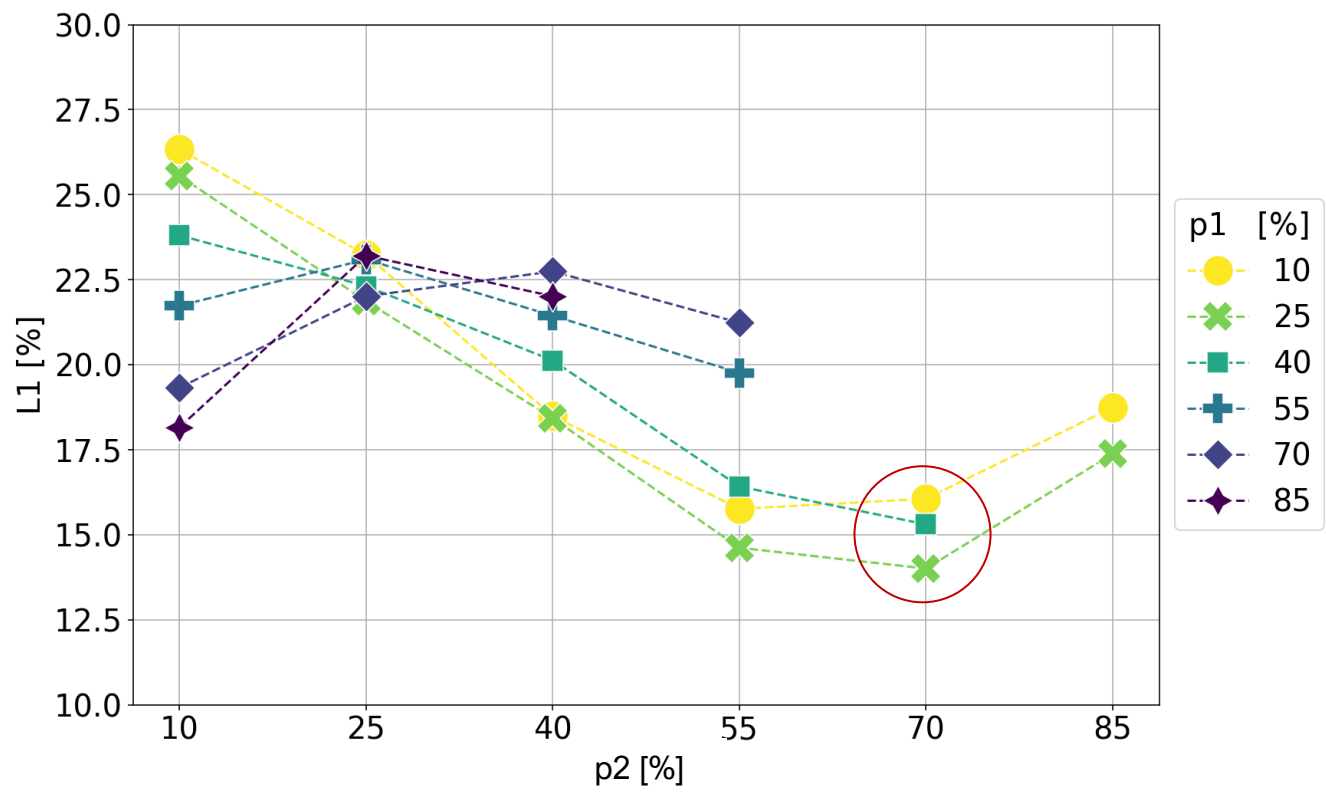


- Hybride RANS/LES-Rechnung bei $Re = 5 \cdot 10^4$
- Zeit pro Simulation = 4 Tage auf 28 CPUs (Intel Xeon Gold 6132)
- Auswertung an 25 Abständen stromabwärts der Blende





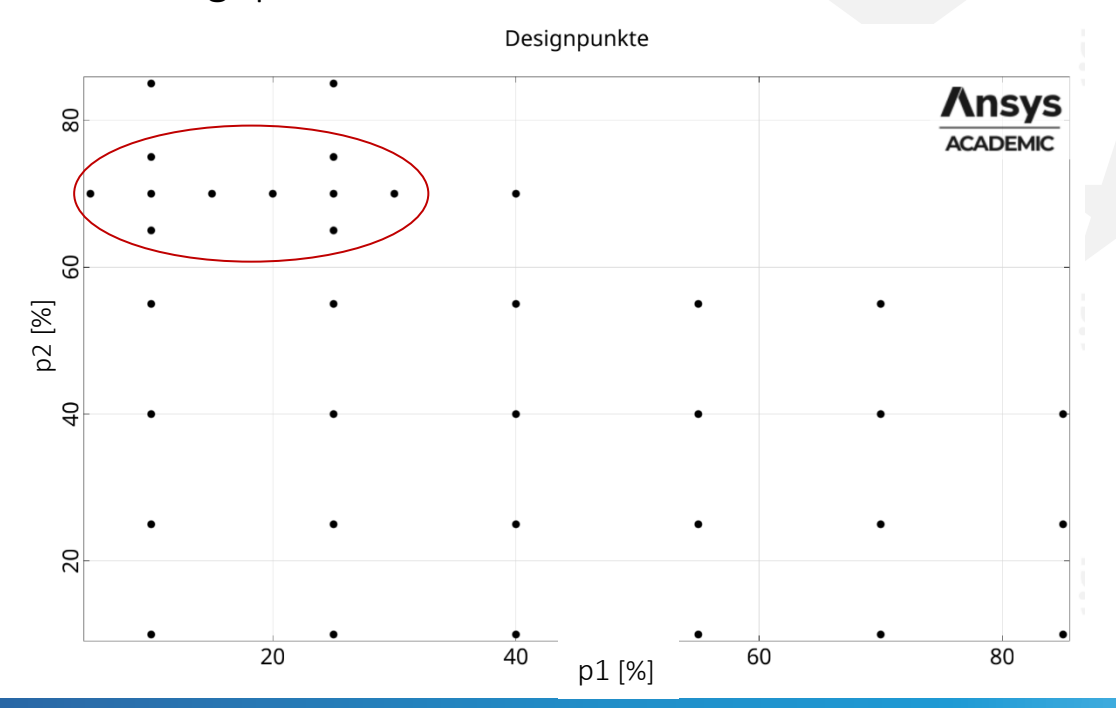


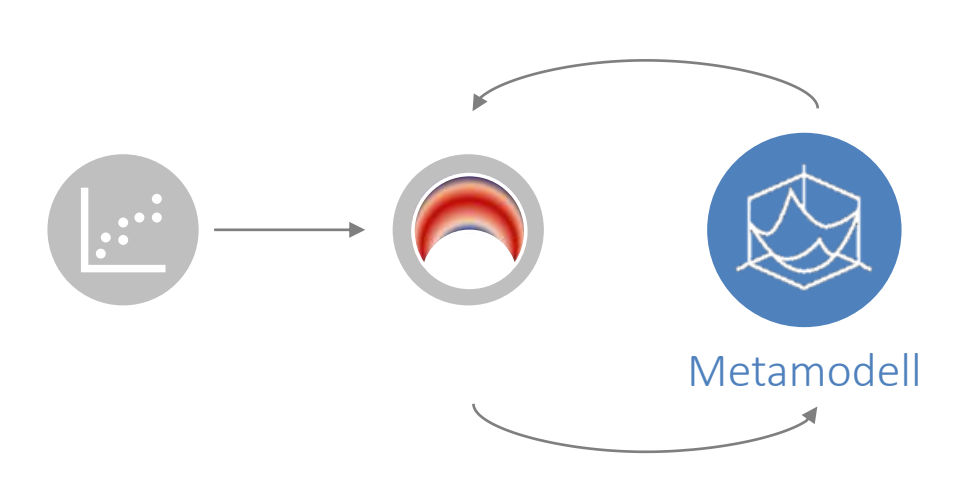




Metamodell

Hinzufügen von Designpunkten









Mathematische Approximation der Zielgröße durch Eingangsgrößen

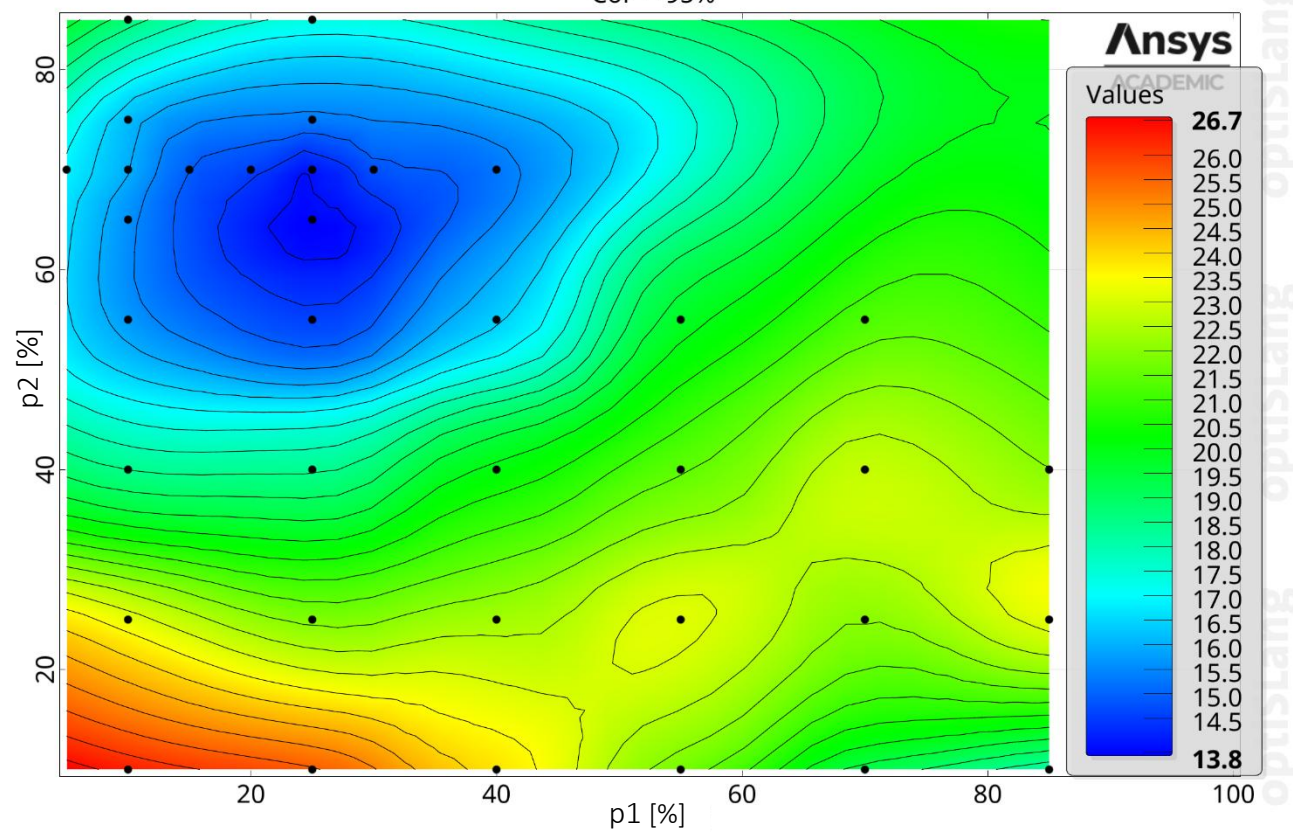
$$L^1(p11, p13)$$

- verschiedene Modelle werden gegeneinander getestet
- Auswahl des Modells nach Kennzahl Coefficient of Prognosis (CoP)

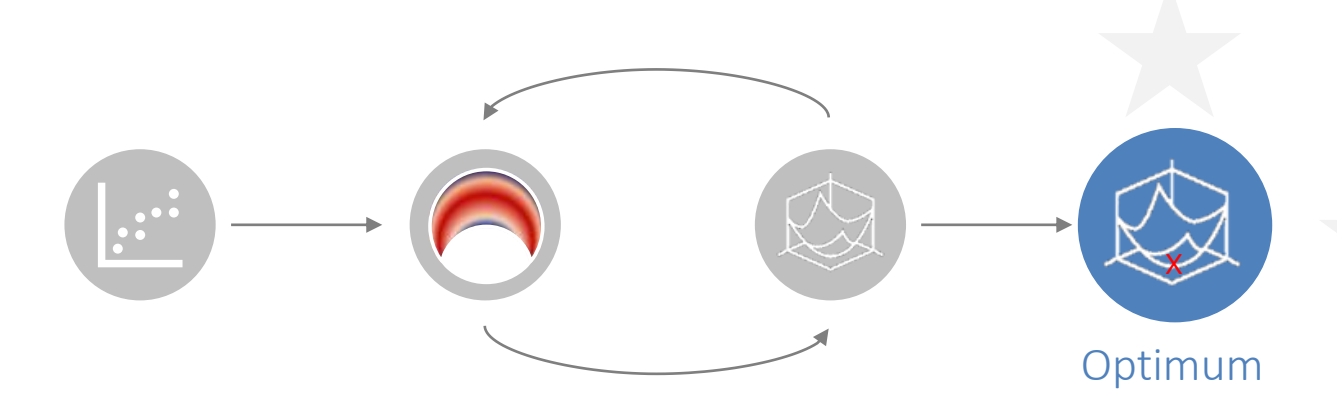


Metamodell

Metamodell L1(p11,p13) CoP = 95%





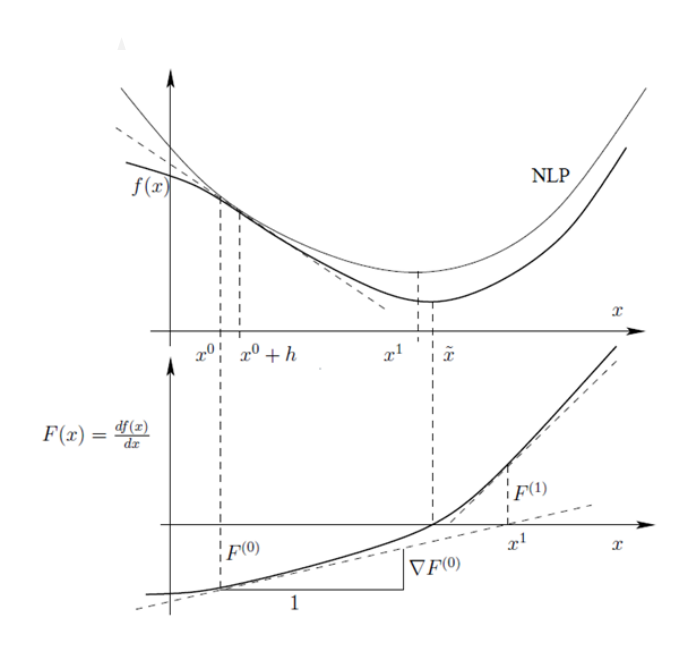




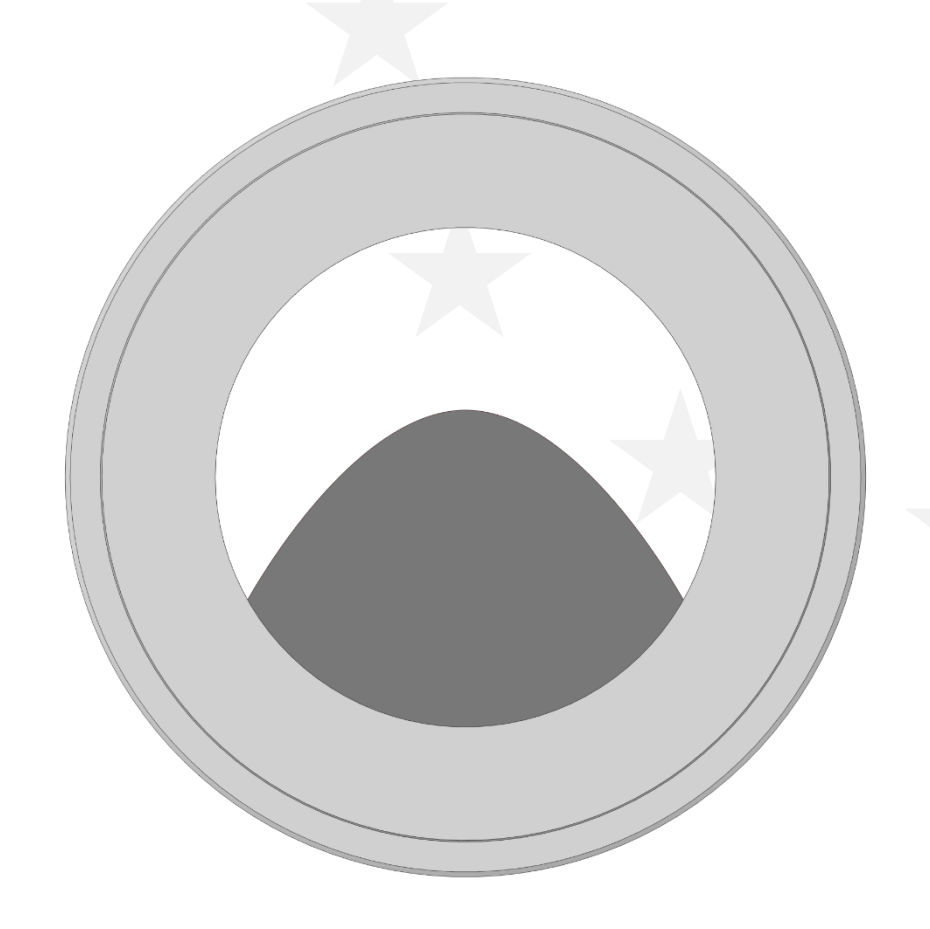




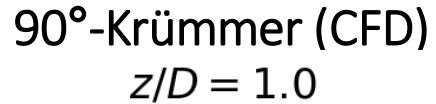
- Suche des globalen Maximums oder Minimums Minimierungsproblem $\min(L^1)$
- Iteratives Finden des Optimums

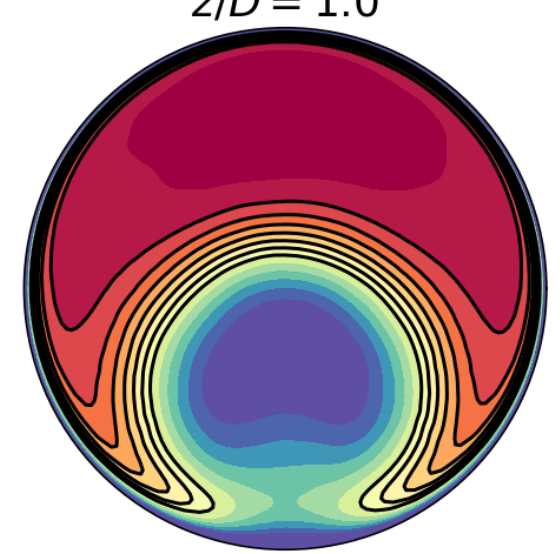


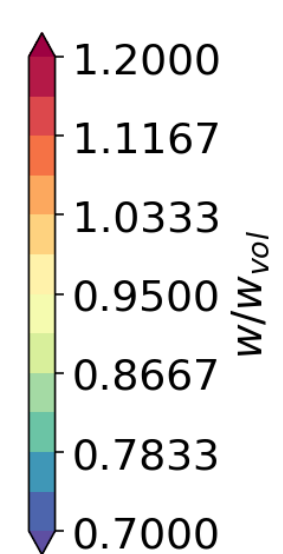


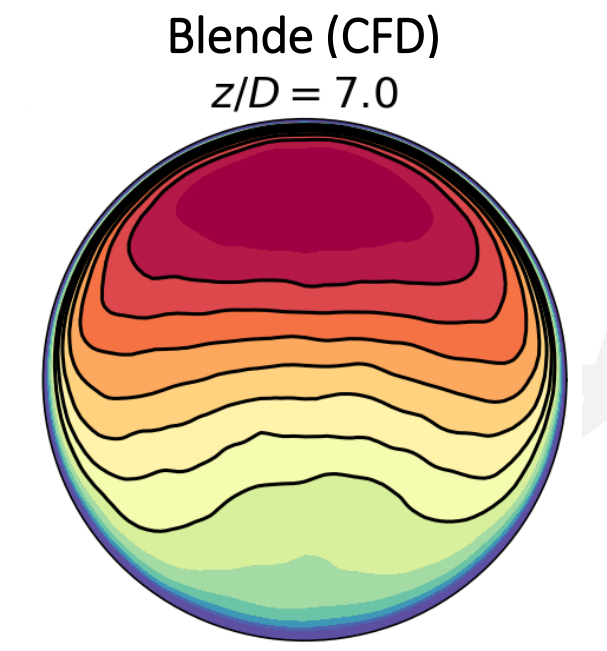


Optimum

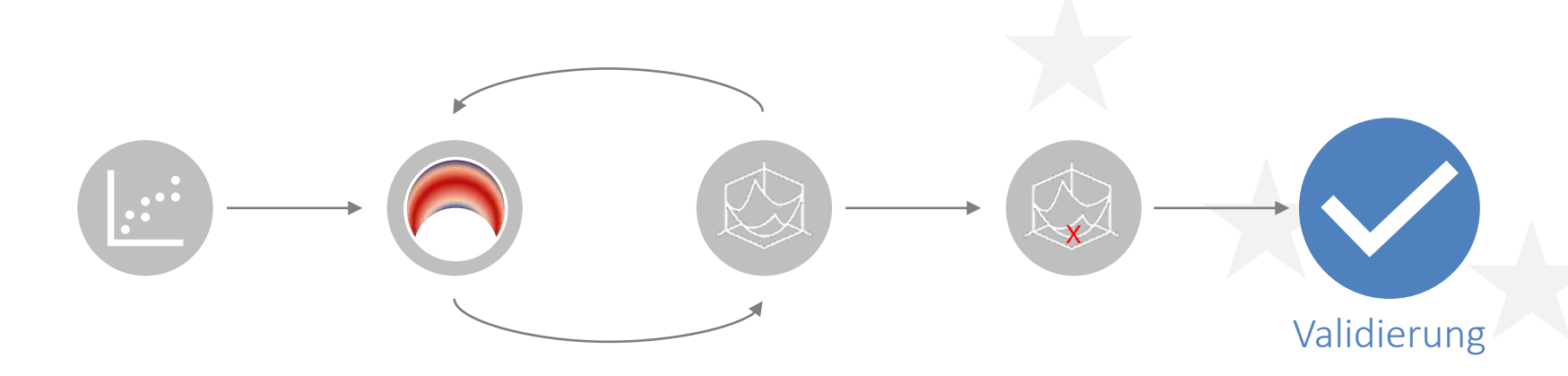




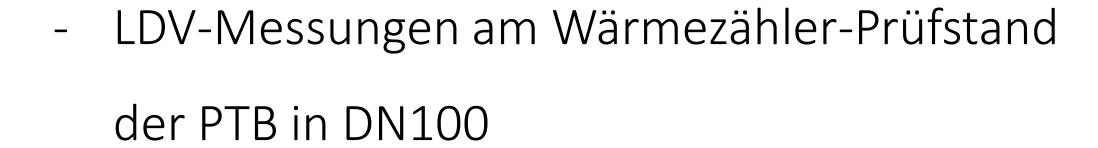




$$L^1 = 13,97\%$$







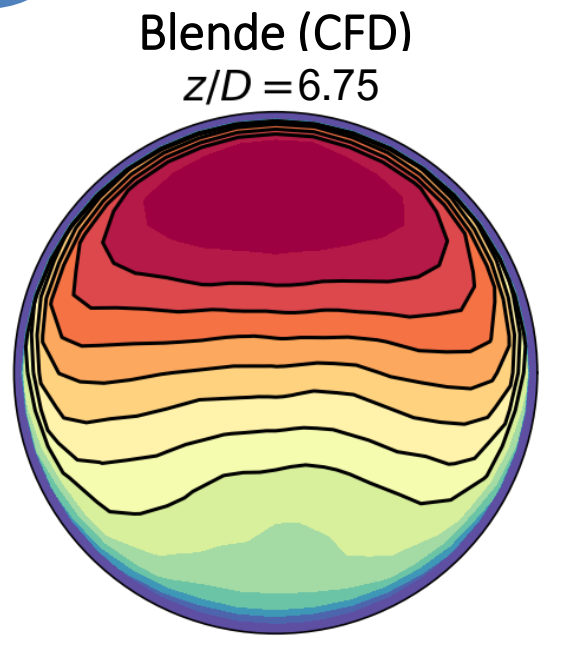
$$- Re = 5 \cdot 10^4$$

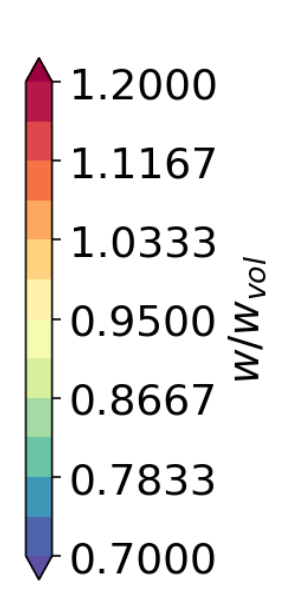
$$-\frac{z}{D} = 6.75$$

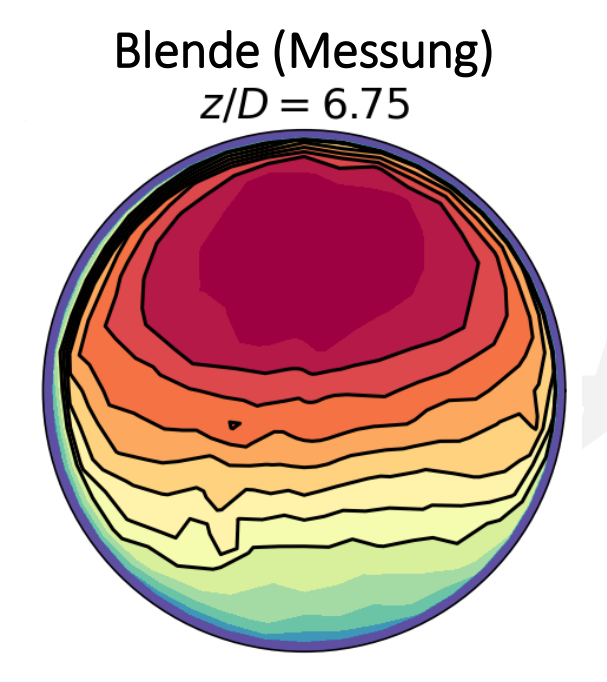




Re = 50000









Zusammenfassung & Ausblick

- ✓ Erfolgreiche Optimierung mit 2 Geometrieparametern
- ✓ Gute Übereinstimmung in der Validierung
- Variation der Eingangsparameter → Minimierung des L1-Fehlers

